

АКАДЕМИЯ НАУК СССР

ЖУРНАЛ  
ЭКСПЕРИМЕНТАЛЬНОЙ  
И  
ТЕОРЕТИЧЕСКОЙ  
ФИЗИКИ

Том 49

(Отдельный оттиск)

8

МОСКВА · 1965

39 25  
*m*

**ПОЛЮСА ВТОРОГО ПОРЯДКА  $S$ -МАТРИЦЫ  
И РЕЗОНАНСНОЕ РАССЕЯНИЕ**

Ю. Н. Демков, Г. Ф. Друкарев

Исследована общая картина движения полюсов  $S$ -матрицы на нефизическом листе комплексной энергии  $E$  при изменении потенциала. Найдены условия появления полюса второго порядка. Для потенциальной ямы с барьером этот полюс может лежать вблизи  $E = 0$ . Рассмотрено резонансное рассеяние в том случае, когда два простых полюса совпадают или лежат близко друг от друга.

### 1. Введение

Вопрос о полюсах высшего порядка  $S$ -матрицы привлекает в последнее время большое внимание как в связи с общей структурой  $S$ -матрицы [1], так и в связи с законом распада нестабильных частиц [2]. Существование полюсов высшего порядка тесно связано также с особенностями резонансного рассеяния частиц. Уже простое сопоставление известных формул для резонансного рассеяния приводит, как мы сейчас увидим, к выводу о существовании полюса второго порядка  $S$ -матрицы.

Рассмотрим рассеяние частиц с энергией  $E$  центральным силовым полем  $V(r)$  конечного радиуса действия ( $V(r) = 0$  при  $r \geq R$ ). Будем считать частицы медленными, так что  $kR \ll 1$ , где  $k = [2mE/\hbar^2]^{1/2}$ , и соответственно учитывать лишь парциальную волну с нулевым моментом ( $l = 0$ ). Обычно различают два вида резонансного рассеяния [3]: 1) рассеяние на потенциальной яме при наличии уровня энергии, близкого к границе сплошного спектра (или при наличии так называемого виртуального уровня); 2) рассеяние при наличии квазистационарного состояния, например в случае потенциальной ямы, окруженнной барьером.

Для  $S$ -матрицы, связанный с фазой волновой функции  $\delta$  соотношением  $S = e^{2i\delta}$ , используются соответственно два выражения.

В случае 1) (см., например, [4])

$$S = e^{2i\Phi(k)} \frac{(1 + k/k_1)}{(1 - k/k_1)}. \quad (1)$$

Здесь  $k_1 = ix_1$  — чисто мнимое число. При наличии связанного состояния  $x_1 > 0$ ;  $\Phi(k)$  — фаза нерезонансной части рассеяния — так называемого потенциального рассеяния. В интересующем нас случае малой энергии можно считать

$$\Phi = kr_0. \quad (2)$$

При  $|x_1|r_0 \ll 1$  из (1) и (2) получается известная формула

$$k \operatorname{ctg} \delta = -a^{-1} + 1/2\rho k^2, \quad (3)$$

где длина рассеяния  $a$  и эффективный радиус  $\rho$  выражаются через  $x$  и  $r_0$ :

$$a = x^{-1}, \quad \rho = 2r_0. \quad (4)$$

В случае 2) для  $S$ -матрицы используется выражение [4]

$$S = e^{2i\varphi} \frac{(1 + k/k_1)(1 - k/k_1^*)}{(1 - k/k_1)(1 + k/k_1^*)}, \quad (5)$$

где  $k_1$  и  $-k_1^*$  — комплексные числа, расположенные в нижней полуплоскости  $k$  симметрично относительно мнимой оси.

Положение полюсов  $S$ -матрицы определяется видом потенциальной энергии  $V$ . Если изменять  $V$ , например постепенно уменьшать глубину потенциальной ямы, то естественно было бы ожидать, что при этом можно проследить переход от резонансного рассеяния вида 1) к резонансному рассеянию вида 2). Однако легко видеть, что с помощью формулы (4) такой переход проследить нельзя. Действительно,  $S$ -матрица, как известно, может быть представлена в виде

$$S = f(-k) / f(k),$$

где  $f(k)$  — так называемая функция Иоста, являющаяся аналитической функцией во всей плоскости  $k$  в том случае, когда  $V$  обращается в нуль при  $r \geq R$  (см. раздел 2). Следовательно, полюса  $S$ -матрицы являются нулями функции Иоста. Формула (5) написана в том приближении, когда учитываются два нуля  $f(k)$ . Поскольку число нулей аналитической функции не может изменяться при ее непрерывном изменении, то ясно, что никаким движением нулей  $f(k)$  нельзя из формулы (5) получить формулу (1).

Для того чтобы проследить связь между различными случаями резонансного рассеяния, необходимо иметь формулу, учитывающую два нуля функции Иоста как в том случае, когда они лежат симметрично относительно мнимой оси, так и в том случае, когда оба они лежат на мнимой оси. Представляется очевидным, что при переходе от одного случая к другому мы неизбежно должны пройти через случай слияния двух нулей функции  $f(k)$  на мнимой оси. Соответственно  $S$ -матрица должна иметь полюс второго порядка.

В настоящей работе проводится в общем виде исследование движения нулей функции Иоста при изменении потенциала  $V$  и выясняются условия, при которых происходит слияние двух нулей. Указан пример, когда двойной нуль лежит близко к точке  $k = 0$ . Получена формула для  $S$ -матрицы в приближении двух нулей функции Иоста, когда эти нули либо комплексные, либо чисто мнимые. Последний случай представляет собой обобщение формулы (1), позволяющее проследить переход между различными видами резонансного рассеяния.

В приближении двух нулей для  $k \gg \delta$  также получается формула вида (3), причем в том случае, когда точка слияния лежит близко к  $k = 0$ , эффективный радиус  $\rho$  оказывается отрицательным и большим по абсолютной величине.

## 2. Функция Иоста

Функция Иоста  $f(k)$  определяется как значение при  $r = 0$  решения уравнения

$$\frac{d^2f(k, r)}{dr^2} + (k^2 - V)f(k, r) = 0, \quad (6)$$

имеющего при  $r \rightarrow \infty$  асимптотический вид

$$f(k, r) = e^{ikr}. \quad (7)$$

(Свойства функции  $f(k)$  подробно рассматриваются, например, в [5, 6].) В нашем случае (7) является точным равенством всюду при  $r \geq R$ . Тогда

$f(k)$  аналитична во всей плоскости комплексного  $k$ . Кроме того, функция  $f(k)$  обладает свойством симметрии:

$$f(k^*) = f^*(-k).$$

В верхней полуплоскости  $f(k)$  может иметь нули только на мнимой оси. Этим нулям соответствуют связанные состояния частицы в поле  $V$ . В нижней полуплоскости  $f$  может иметь нули как на мнимой оси, так и вне ее. В последнем случае, как вытекает из соотношения симметрии, нули расположены парами, симметрично относительно мнимой оси. Нули, расположенные на мнимой оси вблизи точки  $k = 0$ , соответствуют виртуальным состояниям. Парные нули, расположенные близко от вещественной оси (и симметрично относительно мнимой), соответствуют квазистационарным состояниям.

Приступим теперь к изучению нулей  $f(k)$  на мнимой оси. Положим  $k = ix$  и обозначим

$$f(ix) = g(x). \quad (8)$$

$g(x)$  есть значение при  $r = 0$  функции  $g(x, r)$ , удовлетворяющей уравнению

$$\frac{d^2g}{dr^2} - (x^2 + V)g = 0 \quad (9)$$

и имеющей при  $r \geq R$  вид

$$g(x, r) = e^{-xr}. \quad (10)$$

Нули функции  $g(x)$  обозначим через  $\kappa_n$ :

$$g(\kappa_n) = 0. \quad (11)$$

При вещественных  $x, r$  функции  $g(x, r), g(x)$  вещественны.

Воспользуемся формулой, содержащейся в работе одного из авторов [7], для производной функции Иоста в той точке, где сама функция равна нулю. В обозначениях настоящей работы эта формула может быть представлена в виде

$$-2\kappa_n \frac{1}{g(-\kappa_n)} \left( \frac{dg}{dx} \right)_{x=\kappa_n} = e^{-2\kappa_n R} + 2\kappa_n \int_0^R g^2(\kappa_n, r) dr. \quad (12)$$

Если же  $\kappa_n > 0$ , т. е. нуль соответствует связанному состоянию, то формула (12) упрощается и принимает вид

$$\frac{g'(\kappa_n)}{g(-\kappa_n)} = - \int_0^\infty g^2(\kappa_n, r) dr < 0. \quad (13)$$

Пусть  $\kappa_n > \kappa_{n+1} > 0$  — два соседних нуля, тогда  $g'(\kappa_n)$  и  $g'(\kappa_{n+1})$  имеют противоположные знаки. Следовательно, противоположные знаки имеют также величины  $g(-\kappa_n), g(-\kappa_{n+1})$ , и, таким образом, между точками  $-\kappa_n, -\kappa_{n+1}$  лежит по крайней мере один нуль функции  $g(x)$ . Отсюда, в частности, вытекает, что в верхней полуплоскости не может быть кратных нулей функции Иоста  $f(k)$ , ибо из доказанного утверждения следовало бы, что  $f(-k)$  также будет нулем, что противоречит теореме единственности.

Для потенциалов достаточно общего вида (яма, барьер, яма, окруженная барьером) можно показать, что правая часть уравнения (12)

$$\xi(x) = e^{-2\kappa R} + 2\kappa \int_0^R g^2(\kappa, r) dr \quad (14)$$

обращается в нуль только при одном значении  $\kappa = \bar{\kappa} < 0$ , причем  $\xi(\kappa) > 0$  при  $\kappa > \bar{\kappa}$  и  $\xi(\kappa) < 0$  при  $\kappa < \bar{\kappa}$ . Тогда, используя формулу (12), легко доказать, что все вещественные нули функции  $g(\kappa)$  (мнимые нули функции  $f(k)$ ) разбиваются на две группы:

$$\text{а)} \quad \kappa_1 > \kappa_2 > \dots > \kappa_N > \bar{\kappa},$$

причем последний нуль  $\kappa_N$  может быть как положительным, так и отрицательным, а все остальные положительны, и

$$\text{б)} \quad \kappa'_1 < \kappa'_2 < \dots < \kappa'_N < \bar{\kappa},$$

лежащие в интервалах

$$-\kappa_1 < \kappa'_1 < -\kappa_2, \quad -\kappa_2 < \kappa'_2 < -\kappa_3, \dots, \quad -\kappa_{N-1} < \kappa'_N < \bar{\kappa}.$$

Поскольку функция  $g(\kappa)$  стремится к единице при  $\kappa \rightarrow +\infty$ , то  $g'(\kappa_1) > 0$ ,  $g(-\kappa_1) < 0$ , и вопрос о том, имеется ли нуль в интервале  $-\infty < \kappa < -\kappa_1$ , связан со знаком функции  $g(\kappa)$  при  $\kappa \rightarrow -\infty$ . Используя уравнение для  $g(\kappa)$

$$g(\kappa) = 1 - \int_0^R V(r) g(\kappa, r) dr,$$

легко получить, что если при возрастании  $r$  потенциал  $V(r)$  перед тем как обратиться в нуль был положителен (яма, окруженная барьером), то  $g(\kappa) > 0$  при  $\kappa \rightarrow -\infty$ , и имеется еще один нуль  $\kappa'_1 < -\kappa_1$ , так что общее число нулей четное. Если же перед обращением в нуль потенциал  $V(r)$  был отрицателен, то  $g(\kappa) < 0$  при  $\kappa \rightarrow -\infty$ , нуль  $\kappa'_1$  отсутствует и общее число нулей нечетное. Из этого результата особенно ясно видно, что сколь угодно малые изменения потенциала  $V(r)$  на границе радиуса действия сил изменяют число нулей функции  $g(\kappa)$  при больших отрицательных  $\kappa$ , так что эти нули имеют малый физический смысл.

Следует отметить, что для более сложных, например осциллирующих, потенциалов функция  $\xi(\kappa)$  может обращаться в нуль и несколько раз, тогда описанная выше простая картина расположения нулей усложняется. Однако такие потенциалы не представляют особого интереса, и мы их рассматривать не будем.

Выясним, как движутся нули  $\kappa_n, \kappa'_n$  при изменении потенциала  $V$ . Пользуясь уравнением (9), в котором положено  $\kappa = \kappa_n$ , и учитывая (10) и (11), легко показать, что малой вариации  $\delta V$  соответствует сдвиг  $\delta \kappa_n$ , равный в первом приближении

$$\delta \kappa_n = -\frac{1}{\xi(\kappa_n)} \int_0^R g^2(\kappa_n, r) \delta V dr, \quad (15)$$

где  $\xi(\kappa)$  дается выражением (14)<sup>1)</sup>. Рассмотрим такую вариацию  $\delta V$ , при которой

$$\int_0^R g^2 \delta V dr > 0 \quad (16)$$

при вещественных  $\kappa$ . В частности, этому условию удовлетворяет, например, вариация  $\delta V$ , представляющая собой уменьшение глубины потенциальной ямы. Тогда, принимая во внимание установленные выше свойства

<sup>1)</sup> Заметим, что формула (15) аналогична формуле Зельдовича [8] для изменения энергии квазистационарного состояния  $\delta E$  при небольшом изменении  $\delta V$ .

$\xi(\kappa)$ , получим

- а)  $\delta\kappa_n < 0$  при  $\kappa_n > \bar{\kappa}$ ,
- б)  $\delta\kappa_n' > 0$  при  $\kappa_n' < \kappa$ .

Это означает, что нули одной группы движутся навстречу нулям другой группы. (Сама точка  $\bar{\kappa}$ , очевидно, также движется при изменении  $V$ .)

В точке  $\kappa$  соотношение (15) неприменимо, так как знаменатель обращается в нуль. Для того чтобы исследовать движение нулей вблизи точки  $\kappa$ , необходимо уточнить формулу (15). Оказывается достаточным учесть поправку первого порядка по  $\delta\kappa_n$  к величине  $\xi(\kappa)$  вблизи точки  $\kappa$ , т. е. положить

$$\xi(\kappa_n) = \delta\kappa_n (d\xi / d\kappa)_{\bar{\kappa}}. \quad (18)$$

Тогда вместо (15) получим

$$(\delta\kappa_n)^2 = - \frac{1}{(d\xi/d\kappa)_{\bar{\kappa}}} \int_0^R g^2 \delta V dr. \quad (19)$$

В точке  $\bar{\kappa}$ , как вытекает из свойств величины  $\xi(\kappa)$ , имеем  $(d\xi/d\kappa)_{\bar{\kappa}} > 0$ . Следовательно, для рассматриваемых вариаций (16) величина  $(\delta\kappa_n)^2$  отрицательна, так что  $\delta\kappa_n$  оказывается мнимым.

Вспоминая, что ранее мы положили  $k = i\kappa$ , получаем, что мнимой вариации  $\delta\kappa_n$  соответствует вещественная вариация  $k$ , в результате которой нули сходят с мнимой оси. Таким образом, мы приходим к заключению, что при вариации потенциала (16) нули, у которых  $\kappa_n > \bar{\kappa}$ , движутся навстречу нулям, у которых  $\kappa_n < \bar{\kappa}$ . Они попарно сливаются в точке  $\kappa$ , а затем расходятся вправо и влево от мнимой оси. Траектория нулей показана на рис. 1. Непарный нуль, если он есть, движется вниз по мнимой оси, оставаясь все время выше точки  $i\bar{\kappa}$ . Эта общая картина движения нулей была подтверждена Нуссенцвейгом [9] для частного случая прямоугольной ямы путем численного расчета.

Рассмотрим теперь условие слияния нулей. Как вытекает из (12), это условие имеет вид

$$e^{-2\bar{\kappa}R} + 2\bar{\kappa} \int_0^R g^2(\bar{\kappa}, r) dr = 0.$$

Его можно переписать в виде

$$\int_0^R (e^{-2\bar{\kappa}r} - g^2) dr = \frac{1}{2\bar{\kappa}}.$$

Особый интерес представляет случай, когда точка слияния лежит близко к началу координат, так что  $|\kappa|R \ll 1$ , тогда интеграл

$$\frac{1}{2} \int_0^R [e^{-2\bar{\kappa}r} - g^2(\bar{\kappa}, r)] dr \approx \frac{1}{2} \int_0^R [1 - g^2(0, r)] dr$$

практически совпадает с эффективным радиусом  $\rho$  (см., например, [4]), так что

$$\rho = 1/\bar{\kappa}.$$

Отсюда вытекает, что  $\rho$  отрицательно, и что  $|\rho| \gg R$ .

Такое положение имеет место в случае потенциальной ямы, окруженной потенциальным барьером. На рис. 2 приведен общий ход функции  $g$

для этого случая, из которого достаточно ясно видно как то, что  $\rho < 0$ , так и то, что  $|\rho| \gg R$ . По порядку величины  $\rho$  определяется проницаемостью барьера, т. е. экспоненциально мала, а следовательно,  $\rho$  экспонен-

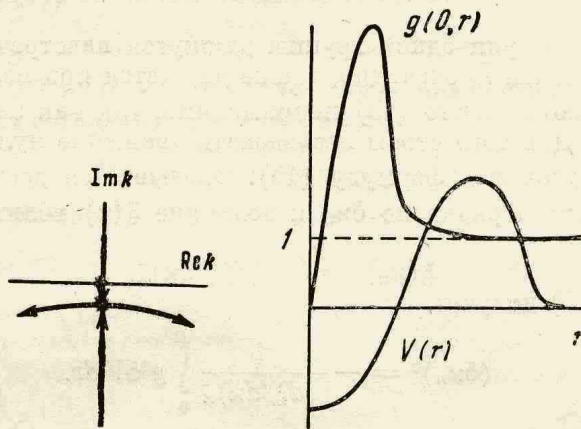


Рис. 1

Рис. 2

циально велико. Прямой расчет, который можно легко провести до конца для ямы с барьером прямоугольной формы, подтверждает правильность картины, изображенной на рис. 2.

### 3. S-матрица в приближении двух полюсов

Пусть  $k_1, k_2, \dots$  — нули функции Иоста. Если нули распределены так, что ряд  $\sum k_n^{-1}$  сходится, то функция Иоста может быть представлена в виде бесконечного произведения

$$\begin{aligned} f &= e^{-i\Phi(k)} \prod_n \left( 1 - \frac{k}{k_n} \right) = \\ &= e^{-i\Phi(k)} \left[ 1 - k \sum_n \frac{1}{k_n} + k^2 \sum_{n,m} \frac{1}{k_n k_m} + \dots \right]. \end{aligned}$$

Рассмотрим случай, когда два нуля  $k_1$  и  $k_2$  близки к точке слияния и сама эта точка находится вблизи  $k = 0$ . Тогда главную роль при рассеянии медленных частиц будут играть только эти нули. Соответственно этому мы пренебрежем в суммах  $\sum_n k_n^{-1}$  и  $\sum_{n,m} k_n^{-1} k_m^{-1}$  всеми членами, кроме  $k_1^{-1} + k_2^{-1}$  и  $k_1^{-1} k_2^{-1}$ . Это даст нам  $f(k)$  в приближении двух нулей. Пользуясь к тому же приближением (2) для  $\Phi(k)$ , получим

$$f(k) = e^{-ikr_0} [1 - k(k_1^{-1} + k_2^{-1}) + k^2(k_1 k_2)^{-1}].$$

Отсюда для  $S$ -матрицы имеем

$$S = e^{2ikr_0} \frac{(1 + k/k_1)(1 + k/k_2)}{(1 - k/k_1)(1 - k/k_2)}. \quad (20)$$

При  $k_2 = -k_1^*$  формула (20) совпадает с (5). В том случае, когда  $k_1$  и  $k_2$  лежат на мнимой оси, формула (20) представляет собой обобщение (1) на случай двух нулей. Представим  $k_1$  и  $k_2$  в виде

$$k_1 = \sqrt{\Delta} - ia, \quad k_2 = -\sqrt{\Delta} - ia. \quad (21)$$

Величина  $\alpha = \frac{1}{2}i(k_1 + k_2)$  дает положение «центра тяжести» нулей на мнимой оси, причем знаки выбраны так, что  $\alpha > 0$ , когда центр тяжести лежит в нижней полуплоскости; величина  $2\sqrt{\Delta}$  дает расстояние между нулями. Случай 1) раздела 1 соответствует  $\Delta < 0$ , а случай 2) соответствует  $\Delta > 0$ ; переход между ними происходит через точку  $\Delta = 0$ .

Заметим, что из результатов раздела 2 следует невозможность обращения  $\alpha$  в нуль. Величина  $\alpha$  всегда положительная (в приближении двух нулей).

Пользуясь соотношением  $S = e^{2i\delta}$ , формулой (20) и обозначениями (21), получаем для длины рассеяния выражение

$$\alpha \equiv -\lim_{k \rightarrow 0} [k \operatorname{ctg} \delta]^{-1} = -(2\alpha/(a^2 + \Delta) + r_0). \quad (22)$$

В том случае, когда  $r_0 \ll |a|$ , из (20) может быть получена формула вида (3)

$$k \operatorname{ctg} \delta = -1/a + \frac{1}{2}(2r_0 - 1/a)k^2. \quad (23)$$

Таким образом, роль эффективного радиуса играет теперь величина

$$\rho = 2r_0 - 1/a. \quad (24)$$

Как видно, при достаточно малом  $\alpha$  величина  $\rho$  становится отрицательной и большой по абсолютной величине. Заметим, что условие  $r_0 \ll 1/a$ , необходимое для этого, может быть выполнено одновременно с условием  $r_0 \ll a/(a^2 + \Delta)$ , необходимым для применимости формулы (23).

Приведем в заключение формулу для эффективного сечения рассеяния в том случае, когда  $\Delta = 0$  (или  $|\Delta| \ll a^2$  и когда  $r_0 \ll a^{-1}$ ). Сечение в этом случае определяется одним параметром  $\alpha$ :

$$\sigma = 16\pi a^2 / (k^2 + a^2)^2. \quad (25)$$

Состояния, соответствующие такому (или близкому) расположению нулей, будут долгоживущими и в то же время будут распадаться не по экспоненциальному, а по степенному закону [7]. Однако сам интервал изменения параметров, входящих в потенциал, когда такие состояния существуют, тем меньше, чем больше время их жизни, так что экспериментальное их наблюдение, например в ядрах, весьма затруднительно.

Все наши выводы можно провести и для рассеяния с ненулевым моментом количества движения, т. е. для  $l \neq 0$ . В этом случае центробежный барьер, непроницаемый при  $k = 0$ , приводит к тому, что слияние нулей происходит в начале координат, после чего они расходятся вправо и влево, вдоль вещественной оси  $k$ , отклоняясь в нижнюю полуплоскость, так что  $\operatorname{Im} k_n \sim (\operatorname{Re} k_n)^{2l}$ . Таким образом, для рассеяния с  $l \neq 0$ , в отличие от  $s$ -рассеяния, квазистационарные состояния появляются непосредственно вслед за исчезновением связанного состояния и слияния двух нулей.

Отметим, что, исследуя поведение нулей на мнимой оси, мы фактически не использовали таких свойств функции Иоста как ее аналитичность во всей комплексной плоскости и т. п. Поэтому результаты можно распространить и на экспоненциально убывающие, как  $e^{-\gamma x}$ , потенциалы, ограничиваясь, конечно, областью  $-\gamma < x < +\infty$ .

#### 4. Заключение

Таким образом, при резонансном рассеянии частиц малой энергии, как правило, нужно пользоваться не одно-, а двухполюсным приближением для S-матрицы. Это нужно делать всегда при рассеянии с отличным от нуля моментом количества движения  $l$  (в § 131 книги Ландау и Лифшица).

ца [3] фактически учитывается именно это обстоятельство). Исключением является  $s$ -рассеяние потенциальной ямой, когда приближение двух полюсов практически неприменимо, ибо в том случае, когда два полюса в нижней полуплоскости  $k$  сближаются, они отстоят от начала координат на расстояние того же порядка, что и следующий полюс в верхней полуплоскости. Однако в том случае, когда имеется яма, окруженная барьером, причем проницаемость  $\varepsilon$  барьера мала ( $\varepsilon \ll 1$ ), приближение двух полюсов пригодно вплоть до энергии  $E < \Delta E$ , где  $\Delta E$  — расстояние между уровнями в окрестности  $E = 0$ . В то же время приближение одного полюса либо вообще неприменимо, либо применимо в очень малой области  $E < \varepsilon \Delta E$ , если один из полюсов находится на расстоянии существенно меньшем, чем  $\varepsilon \Delta E$ , от начала координат.

Всякая стабилизация  $s$ -состояния, перешедшего в сплошной спектр, приводит к тому, что точка слияния полюсов подходит близко к началу координат, так что становится необходимо использовать двухполюсное приближение. Такая стабилизация в более сложных задачах может вызываться не только потенциальным барьером, но и другими причинами: слабостью динамического взаимодействия с частицами рассеивателя, особенностями системы с большим числом частиц и т. п.

Рассмотренное здесь поведение полюсов  $S$ -матрицы на «нефизическом» листе энергии  $E$  существенно также при рассмотрении медленных столкновений отрицательных ионов с атомами, когда при их сближении связанное состояние электрона «выталкивается» в сплошной спектр [10]. В зависимости от того, насколько близко от начала координат находится точка слияния, можно получить качественно различные результаты для вероятности отрыва электрона при столкновении. Эти вопросы обсуждаются более подробно в следующей работе [11].

В заключение мы благодарим В. А. Фока, Л. Д. Фаддеева и Г. В. Дубровского за обсуждение вопросов, рассмотренных в статье.

Ленинградский государственный  
университет

Поступила в редакцию  
16 марта 1965 г.

#### Литература

- [1] R. J. Eden, P. V. Landshoff. Phys. Rev., **136**, B1817, 1964.
- [2] M. L. Goldberger, K. M. Watson. Phys. Rev., **136**, B 1472, 1964.
- [3] Л. Д. Ландау, Е. М. Лифшиц. Квантовая механика, 2-е изд., Физматгиз, 1963, гл. 27.
- [4] А. И. Ахиезер, И. Я. Померанчук. Некоторые вопросы теории ядра, 2-е изд., Гостехиздат, 1950, гл. 3, § 23.
- [5] R. Newton. J. Math. Phys., **1**, 319, 1963.
- [6] Л. Д. Фаддеев. УМН, **14**, 57, 1959.
- [7] Г. Ф. Друкарев. ЖЭТФ, **21**, 59, 1951.
- [8] Я. Б. Зельдович. ЖЭТФ, **39**, 776, 1960.
- [9] H. M. Nussenzveig. Nucl. Phys., **11**, 499, 1959.
- [10] Ю. Н. Демков. ЖЭТФ, **46**, 1127, 1964.
- [11] Ю. Н. Демков. ЖЭТФ, **49**, 9, 1965.

#### S MATRIX POLES OF THE SECOND ORDER AND RESONANCE SCATTERING

Yu. N. Demkov, G. F. Drukarev

The movement of the  $S$  matrix poles on the unphysical sheet of complex energy  $E$  during the variation of the potential is investigated. The conditions for appearance of second order poles are determined. For a potential well with a barrier the pole may lie near  $E = 0$ . Resonance scattering is considered for the case when two simple poles coincide or lie close to each other.